

はほぼリブレットの頂点にあるが、摩擦損失係数が滑面のそれに較べて小さいほどリブレット頂点より下がった位置となっていて、意外な結果である。

粘性底層流速分布から求めた原点補正値を用いて、 $Y^*=6\sim 15$ での流速分布を最小自乗法で求め、 $Y^*=10$ での U_{+10} の値を K^+ に対して描点したのが図-4である。 K^+ が小さいほど U_{+10} は大きい値となっていて、より粘性底層の流速分布に近くなっていることが判る。

仮想原点を任意に変えて、仮想原点からの高さとその位置での速度勾配との積 $Y \cdot dU/dY$ の値を調べたのが図-5である。図中の水平線は前述した2通りの方法で求めた原点補正値からの U_{+}/K_s の値である。対数分布式が成り立つば、 $Y \cdot dU/dY$ は一定値 U_{+}/K_s となる。図より $Y \cdot dU/dY$ の値が一定値となる原点補正値は存在しないことが明らかである。通常対数領域とされる所での描点は波状に変化していて、測定値の平均勾配から得られた値に対して局所勾配から得られた値は最大10%以上の差がある。流速測定精度を含め、対数分布については更に別の観点からの検討が必要である。

実験流量と河床と水面勾配から求めた滑面の摩擦損失係数に対する前述した原点補正値から求められた摩擦損失係数の値を K^+ に対して描点したのが図-6である。図中の破線は従来の実験結果の範囲で、不等流性が強い実験描点を除くと、この範囲内に描点がある。

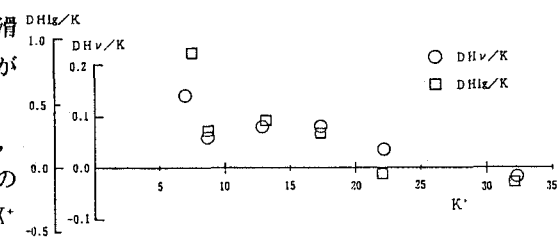
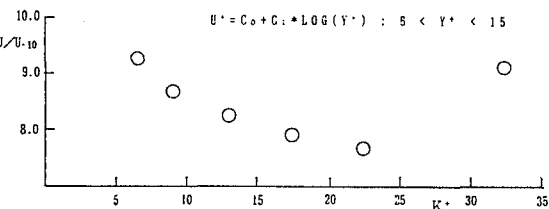
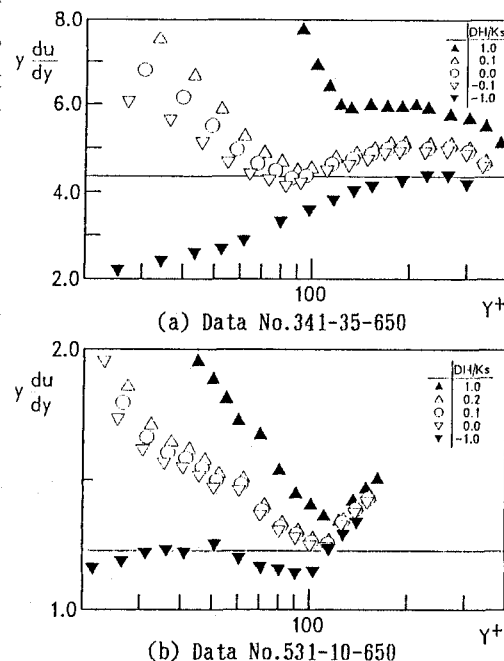
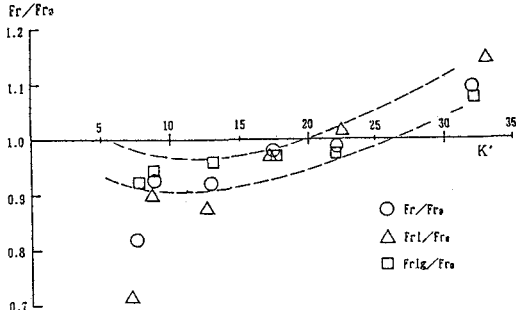
4. むすび

リブレット粗面上の平均流速分布を検討した結果を要約すると、次の通りである。すなわち、

- 1) 仮想原点位置は、予想に反して、摩擦抵抗の軽減が大きいほどリブレット頂より下方であった。
- 2) 粘性底層の存在を前提にすると、バッファ層での流速分布は摩擦抵抗の軽減が大きいほど粘性底層内の流速分布に近い分布となっている。
- 3) 平均的には大差はないが、対数分布式の適用領域については慎重に検討することが必要である。

参考文献

- 1) Kwing-so Choi : Near-wall structure of turbulent boundary layer with riblets, J.F.Mech., vol .208, pp.417-458, 1989
- 2) J.J.Rohr, G.W.Anderson, L.W.Reidy, and E.W.Hendricks : A comparison of the drag-reduction benefits of riblets in internal and external flow, Experiments in Fluids, 13, pp.361-368, 1992

図-3 原点補正量 ΔH ～ K^+ の関係図-4 バッファ層内流速分布の K^+ による変化図-5 $Y^* dU/dY \sim Y^+$ の関係図-6 $Fr/Fro \sim K^+$ の関係